

Московский государственный университет им. М. В. Ломоносова
Факультет вычислительной математики и кибернетики
Кафедра математических методов прогнозирования

Задание № 2. Низкоплотностные коды

Автор: Арбузова Дарья
Группа: 417

Содержание

1	Цели задания	2
2	Теория помехоустойчивого кодирования	2
3	Эксперименты	3
3.1	Различные расписания и коэффициенты демпфирования	3
3.2	Теорема Шеннона	5
3.3	Сравнение низкоплотностных кодов с БЧХ кодами	7
4	Использованная литература	8

1 Цели задания

1. Реализовать алгоритм декодирования низкоплотного кода на основе loopu BP;
2. Провести эксперименты с различными расписаниями пересчёта сообщений и коэффициентами демпфирования;
3. Реализовать алгоритм оценки вероятности битовой и блоковой ошибки кода с помощью метода статистических испытаний;
4. Провести эксперименты по оцениванию битовой и блоковой ошибки низкоплотного кода для различных значений параметров;
5. Провести эксперименты по сравнению низкоплотного кода с кодами БЧХ.

2 Теория помехоустойчивого кодирования

Рассмотрим решение задачи безошибочной передачи потока битовой информации по каналу с шумом с помощью кодов, исправляющих ошибки.

Пусть передаваемое сообщение разделяется на блоки длины k , и каждый из них кодируется независимо. Для исправления возможных помех при передаче информации необходимо добавить избыточность: пусть каждый блок кодируется словом длины $n > k$. Таким образом, каждому возможному блоку длины k сопоставляется одно из 2^k кодовых слов длины n . Множество этих слов называется (n, k) -блоковым кодом, а $r = \frac{k}{n}$ — скоростью кода.

Стадии жизни сообщения:

$$u \in \{0, 1\}^k \xrightarrow{\text{кодирование}} v \in \{0, 1\}^n \xrightarrow[\text{помехами}]{\text{канал с}} w \in \{0, 1\}^n \xrightarrow[\text{ошибок}]{\text{восстановление}} \hat{v} \in \{0, 1\}^n \xrightarrow[\text{рование}]{\text{декодирование}} \hat{u} \in \{0, 1\}^k$$

Рассмотрим следующую модель канала: пусть ошибка в каждом бите совершается с вероятностью $q \in (0; \frac{1}{2})$. Пропускной способностью канала называется максимальная скорость, с которой может быть осуществлена надёжная передачи информации. В рассматриваемом случае определяется величиной $c = 1 + q \log_2 q + (1 - q) \log_2 (1 - q)$.

Зададим линейный (n, k) -блоковый код его проверочной матрицей $H \in \{0, 1\}^{(n-k) \times n}$: $Hv = 0 \pmod{2} \iff v$ — кодовое слово. По ней можно найти порождающую матрицу кода для кодирования блоков $G \in \{0, 1\}^{n \times k}$: $Gu = v$. Подробное описание алгоритма можно найти в [1].

Особенностью низкоплотных кодов является сильная разреженность матрицы H .

Пусть получено сообщение $w \in \{0, 1\}^n$, и требуется восстановить вектор ошибок $e \in \{0, 1\}^n$: $w = v + e$. Назовём синдромом w вектор $s \in \{0, 1\}^{n-k}$: $s = Hw = H(v + e) = Hv + He = He$.

Основная задача декодирования состоит в решении уравнения $s = He$, и делать это можно многими разными способами. В данном задании был исследован метод, использующий аппарат графических моделей.

При использовании побитовой функции потерь $\lambda(e, \tilde{e}) = \sum_{i=1}^n [e_i \neq \tilde{e}_i]$ оптимальная процедура декодирования связана с максимизацией маргиналов отдельных переменных: $\hat{e}_i = \arg \max_{e_i} p(e_i | s)$. Для поиска маргинальных распределений $p(e_i | s)$ применяется алгоритм sum-product loopu belief propagation на фактор-графе.

В результате работы алгоритма возможны 3 ситуации:

1. Найден вектор ошибок e , удовлетворяющий решаемому уравнению;

2. Произошла стабилизация оценок на маргинальные распределения;
3. Достигнуто максимальное число итераций.

Отметим, что ни один из этих вариантов не гарантирует правильного (или неправильного) результата декодирования сообщения.

При передаче сообщений в алгоритме возможны две схемы: параллельное расписание (сначала все вершины посылают сообщения во все факторы, а затем все факторы — во все вершины) и последовательное (на каждой итерации алгоритма сообщения обновляются в случайном порядке).

Ещё одной модификацией алгоритма является демпфирование, когда сообщение обновляется выпуклой комбинацией старого сообщения и пересчитанного нового: $\mu^{t+1} = \lambda\mu_{new} + (1 - \lambda)\mu^t$, $\lambda \in (0; 1]$, иными словами, происходит экспоненциальное сглаживание значений.

В экспериментах ниже будет рассмотрено общее поведение представленного алгоритма декодирования, а также влияние различных параметров на качество его работы.

3 Эксперименты

3.1 Различные расписания и коэффициенты демпфирования

Исследуем поведение алгоритма в зависимости от расписания и коэффициента демпфирования.

Зафиксируем параметры $n = 50$, $k = 10$, $q = 0.1$ и оценим время работы алгоритма декодирования сообщений. Результаты представлены в таблице 1:

λ	Параллельное расписание	Последовательное расписание
$\frac{1}{8}$	0.1034	0.7213
$\frac{1}{4}$	0.0514	0.7252
$\frac{3}{8}$	0.0325	0.5082
$\frac{1}{2}$	0.0151	0.3162
$\frac{5}{8}$	0.0121	0.2048
$\frac{3}{4}$	0.0082	0.1389
$\frac{7}{8}$	0.0049	0.0845
1	0.0035	0.0582

Таблица 1: Среднее время работы алгоритма декодирования в секундах

Видно, что с ростом λ уменьшается время работы алгоритма, а параллельное расписание работает быстрее последовательного, в частности потому, что допускает лучшую векторизацию.

Исследуем долю стабилизировавшихся beliefs (оценок маргинальных распределений) от номера итерации. Результаты приведены на рисунках 1 - 2:

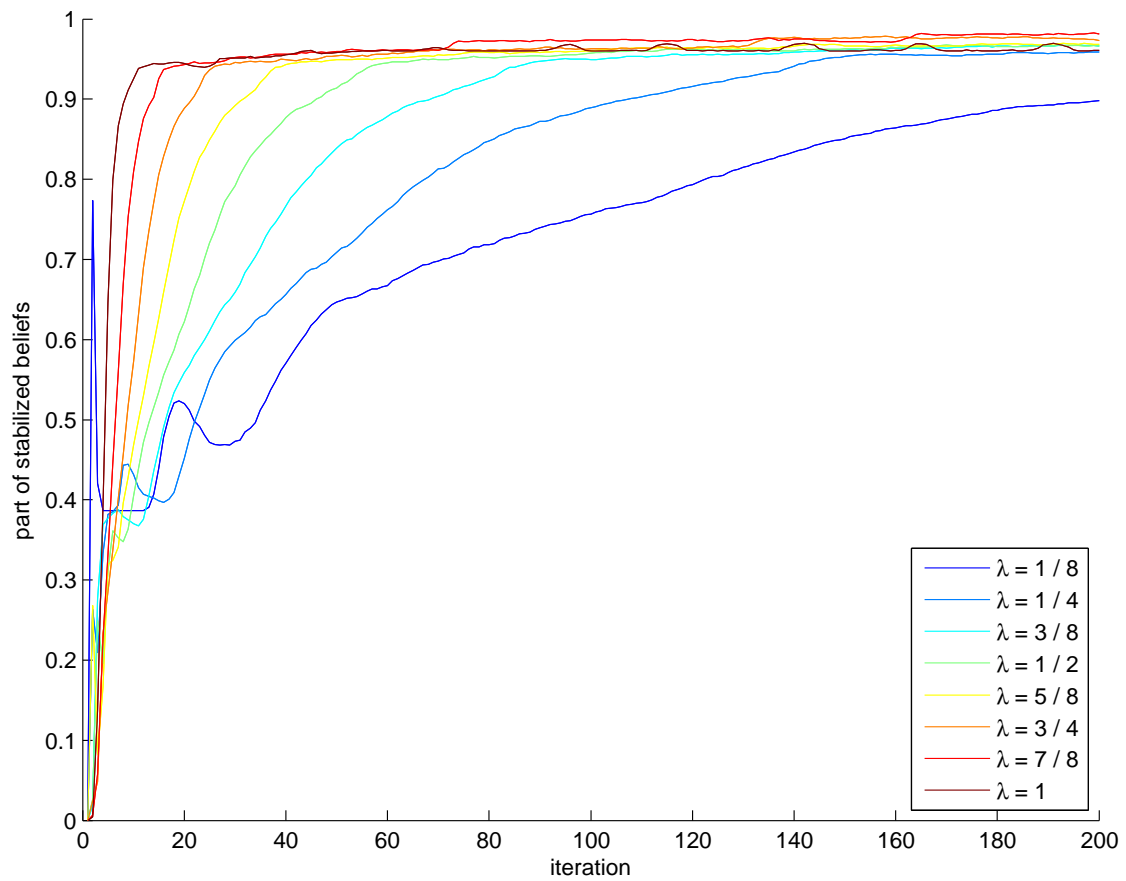


Рис. 1: Параллельное расписание

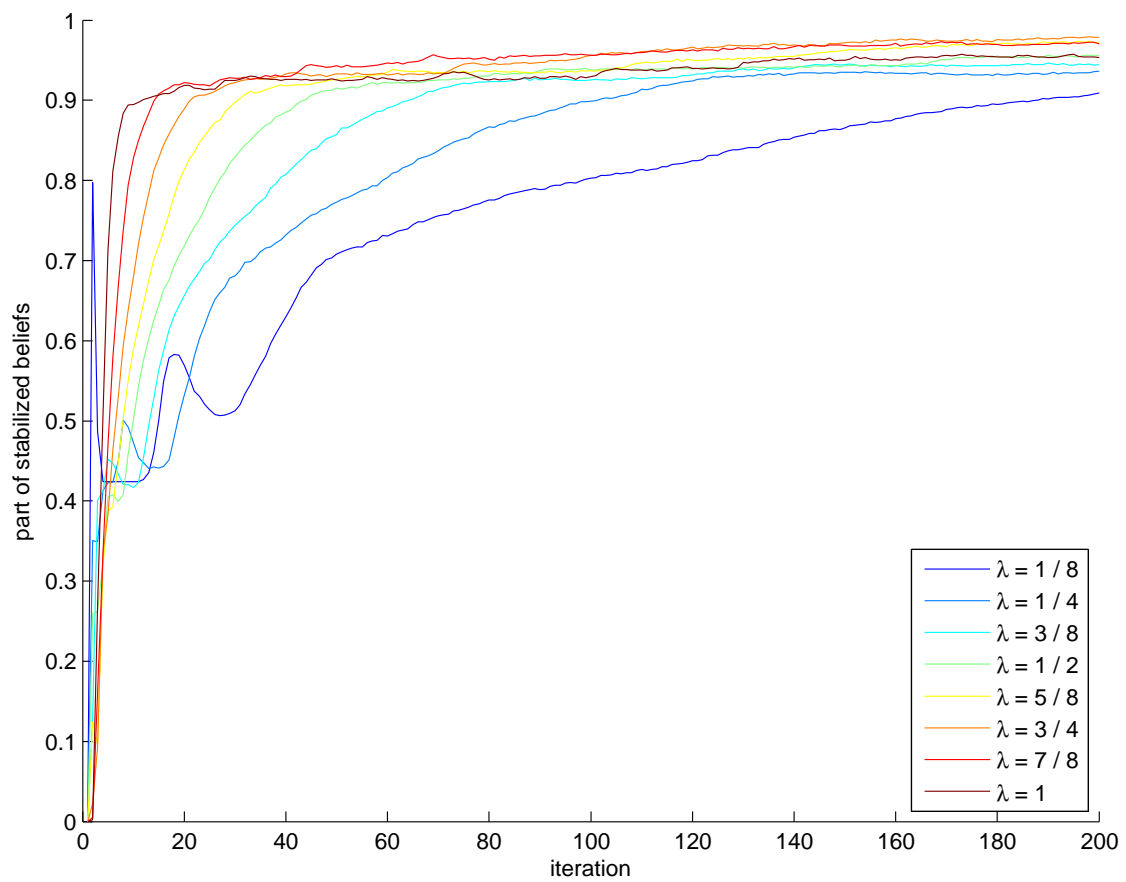


Рис. 2: Последовательное расписание

Видно, что при параллельном расписании алгоритм сходится быстрее. Также можно отметить, что выигрывают большие значения λ , однако $\lambda = 1$ — не лучшее из них, то есть учёт информации о предыдущих итерациях имеет смысл.

Заметим, что графики немонотонны, то есть делать вывод о «стабилизации» belief'a на основании сравнения последних двух значений на самом деле нельзя, оно может соответствовать локальному минимуму.

3.2 Теорема Шеннона

Теорема Шеннона

$\forall r < c$ существует код, такой что вероятность ошибки декодирования стремится к нулю $p_{err} \rightarrow 0$, когда длина блока стремится к бесконечности $n \rightarrow \infty$.

Проверим работу этой теоремы и исследуем зависимость характеристик кода (вероятности битовой и блочной ошибки и расходимости алгоритма) от различных параметров. Вероятности будут приближены своей частотной оценкой в ходе математических испытаний методом Монте-Карло.

1. Зависимость от скорости r .

Теорема Шеннона определяет пропускную способность канала как максимально допустимую скорость кода, при которой возможно осуществление надёжной коммуникации.

Зафиксируем параметры $n = 200, q = 0.1, \lambda = \frac{7}{8}$ и исследуем эффективность кода (см. рис. 3):

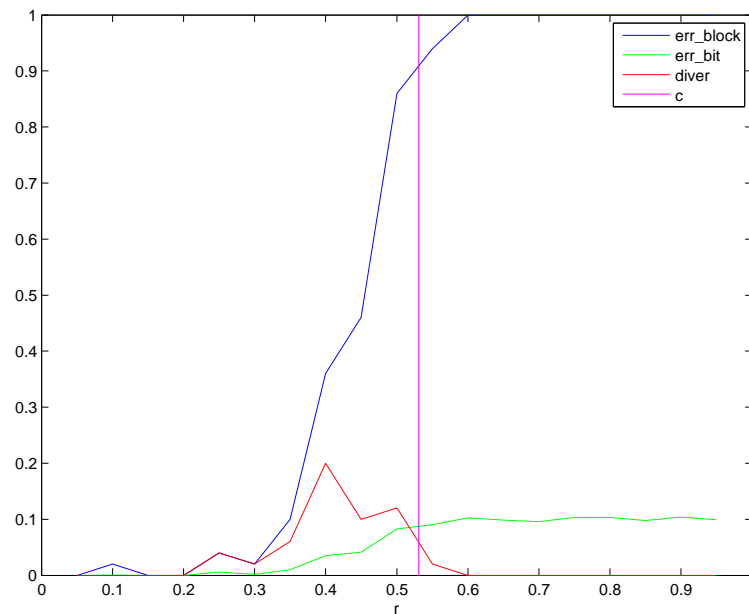


Рис. 3: Характеристики кода в зависимости от r

Действительно, после превышения пропускной способности канала блочная ошибка становится равной 1.

2. Зависимость от длины кодового слова n .

Теорема Шеннона предполагает, что качество кода растёт при увеличении длины кодового слова n .

Зафиксируем параметры $r = 0.3, q = 0.1, \lambda = \frac{7}{8}$ и исследуем эффективность кода (см. рис. 4):

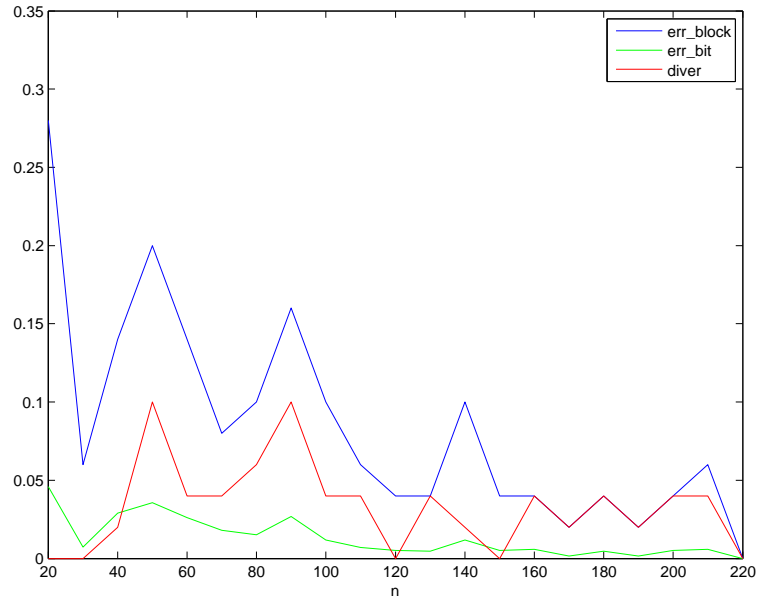


Рис. 4: Характеристики кода в зависимости от n

Действительно, в среднем с увеличением n качество кода растёт.

3. Зависимость от среднего количества единиц в столбце проверочной матрицы j .

Одно из следствий теоремы Шеннона утверждает, что хорошими кодами являются коды со случайной проверочной матрицей H , и, в частности, качество кода должно расти с увеличением среднего количества единиц в столбце этой матрицы.

Проверим это утверждение; зафиксируем параметры $n = 500, k = 60, q = 0.1, \lambda = \frac{7}{8}$ и исследуем эффективность кода (см. рис. 5):

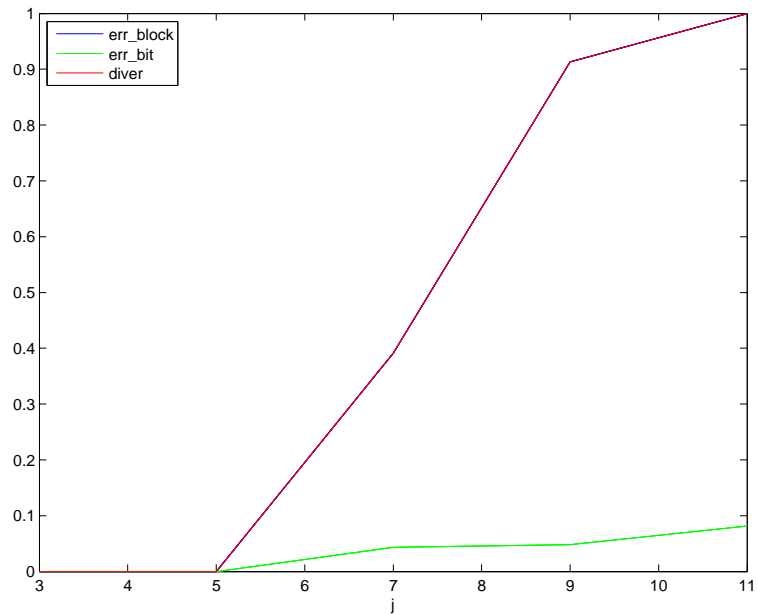


Рис. 5: Характеристики кода в зависимости от j
(err_block совпадает с diver)

Однако получен обратный эффект, и с увеличением j качество кода быстро падает. Возможно, это связано с тем, что в фактор-графе появляются циклы длины большей трёх, и это усложняет работу алгоритма.

3.3 Сравнение низкоплотностных кодов с БЧХ кодами

Коды Боуза — Чоудхури — Хоквингема [??] также являются линейными (n, k) –блоковыми кодами, сравним их с LDPC-кодами.

1. Зависимость от r .

Зафиксируем параметры $n = 255, q = 0.1, \lambda = \frac{7}{8}$, и будем перебирать k среди таких значений, что пара (n, k) корректно задаёт код БЧХ.

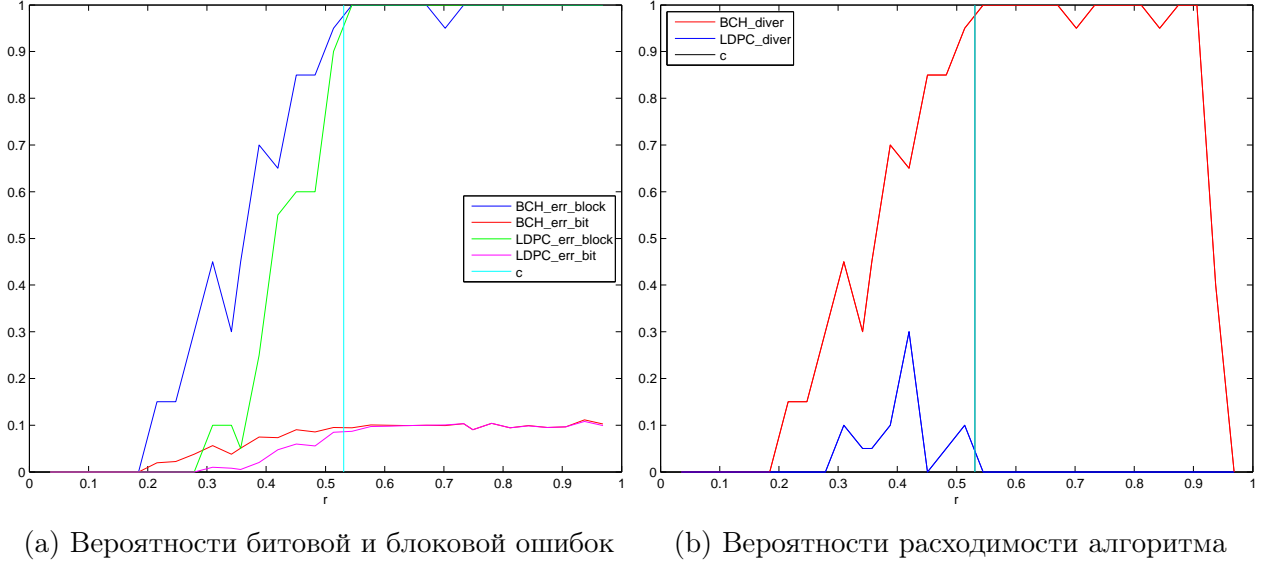


Рис. 6: Сравнение характеристик LDPC- и БЧХ-кодов в зависимости от r

Ожидаемо, что при преодолении скоростью пропускной способности канала, вероятность блоковой ошибки становится равной 1.

Видно, что LDPC-коды выигрывают у БЧХ по всем параметрам: вероятность ошибки и расходимости алгоритмов меньше. (В случае БЧХ под «расходимостью» понимаем отказ от декодирования.)

2. Зависимость от q .

Зафиксируем параметры $n = 255, k = 87, \lambda = \frac{7}{8}$.

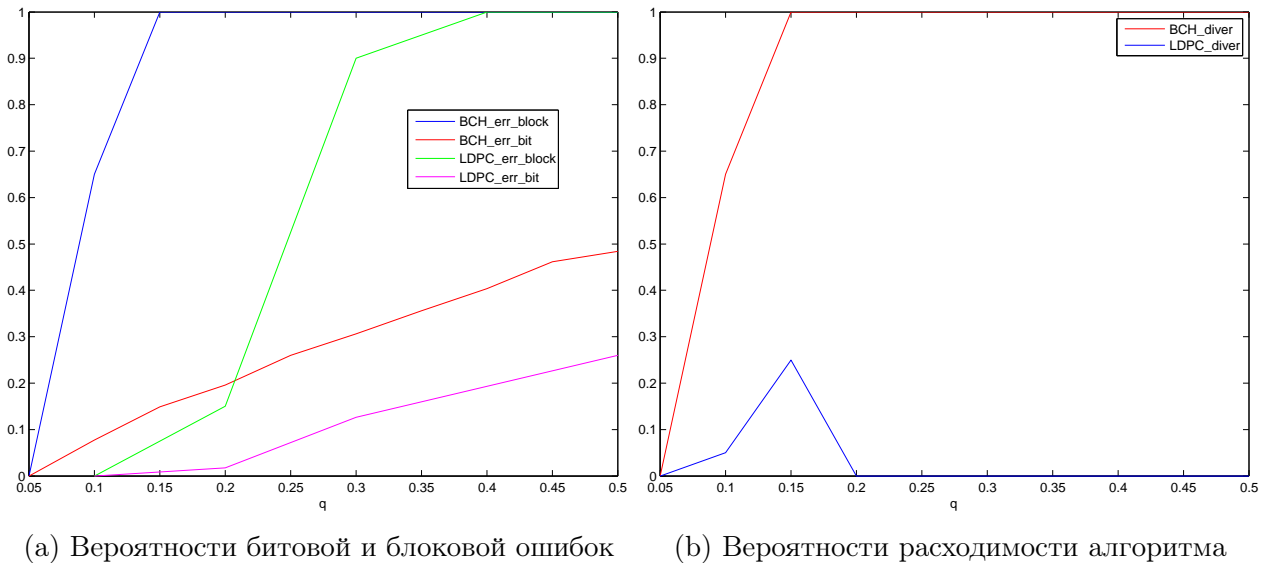


Рис. 7: Сравнение характеристик LDPC- и БЧХ-кодов в зависимости от q

Очевидно, что с ростом вероятности ошибки в канале ухудшается и качество декодирования сообщений. В рассматриваемом случае LDPC вновь превзошли БЧХ.

4 Используемая литература

- [1]
- [2]
- [3]